

# La teoría de supercuerdas

Herbert Morales\*

*Escuela de Física  
Universidad de Costa Rica  
San José, Costa Rica*

## Resumen

Presentamos una breve descripción de la teoría de supercuerdas, basándonos en la capacidad intuitiva del lector y en su conocimiento de física general y cálculo a nivel universitario. Actualmente, la teoría de supercuerdas es catalogada como la mejor candidata a explicar los fenómenos físicos que involucren todas las interacciones conocidas: la gravitacional, la electromagnética, y las nucleares débil y fuerte. Nuestra descripción ilustra y explica ciertos conceptos y detalles de las supercuerdas, tales como supersimetría, compactificación, dualidades y branas, entre otros.

## Abstract

*We discuss superstring theory based on the reader's intuition and her college knowledge of general physics and calculus. Nowadays, superstring theory is considered the best candidate to explain physical phenomena that involve all of the known fundamental interactions: the gravitational, electromagnetic, weak and strong forces. The main purpose of this work is to show and explain some of the concepts and details about superstrings, such as supersymmetry, compactification, dualities and branes.*

---

\*hmoales@fisica.ucr.ac.cr

# 1 Introducción

Las *partículas* y usualmente los objetos, al estilo de los cursos de física general, se modelan a través de *puntos*, por lo que no importa que tanto nos acerquemos a estas “partículas”, siguen siendo puntos. Esta idealización presenta el problema de *divergencias* (cantidades físicas que tienden a infinito) en las *teorías cuánticas de campo* (QFT, por sus siglas en inglés). Las QFT son los modelos para estudiar a las partículas elementales, como el electrón o el fotón (la partícula que constituye la luz). Sin embargo, los métodos de *regularización y renormalización* en QFT permiten el control de tales divergencias de una forma sistemática. Por ejemplo, podemos formular de manera consistente y con poder predictivo *la teoría de electrodinámica cuántica* (QED, explica la interacción del fotón con las demás partículas), *la teoría electrodébil* (o modelo de Glashow-Weinberg-Salam, explica la desintegración beta) y *la teoría de cromodinámica cuántica* (QCD, explica como los protones y los neutrones se mantienen unidos dentro del núcleo de un átomo). Cabe mencionar que estas teorías juntas conforman el llamado *modelo estándar* (SM) de las partículas.

Por otro lado, *la teoría general de la relatividad* (GR, explica los fenómenos físicos que involucran la gravedad) es de una naturaleza completamente diferente que las QFT, puesto que la interacción gravitacional se modela por medio de un espacio curvo, mientras las interacciones en QFT (electromagnética, y nucleares débil y fuerte) se modelan a través de intercambio de partículas mediadoras (ver Fig. 1). Esta diferencia entre las formulaciones de estas teorías hace que exista una *incompatibilidad* entre ellas, es decir, si estudiamos un fenómeno físico que las involucre a ambas, como los agujeros negros, obtendríamos resultados contradictorios.

En la búsqueda de un marco teórico unificado de las QFT con GR, aparecen las *teorías de cuerdas* (ST). Actualmente, consideramos a ST como la candidata más fuerte a una *teoría cuántica de la gravedad* (nombre genérico de las teorías que unen QFT y GR) debido a que su formulación es coherente matemáticamente (sin incompatibilidad). Incluso algunos físicos consideran que las ST logran posiblemente el objetivo final: la *teoría del todo* (TOE). Sin embargo, existen otras posibilidades no tan populares como la *gravitación cuántica* (loop quantum gravity) y otras propuestas que involucran geometrías cuánticas como la *geometría no conmutativa* o la *física difusa* (fuzzy physics).

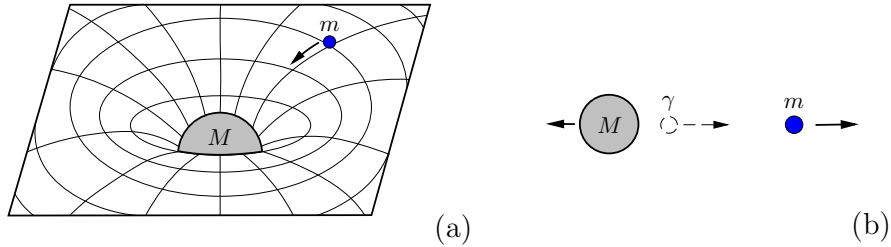


Figura 1: La interacción entre dos partículas según: (a) la teoría de la relatividad general y (b) la teoría cuántica de campo. En (a) la partícula  $M$  “curva” el espacio y atrae a  $m$ , mientras en (b)  $M$  emite a  $\gamma$  (mediadora) y repela a  $m$ , cuando esta la absorbe.

## 2 Una breve historia de las ST

Alrededor de 1960, habíamos hallado en los aceleradores una gran variedad de partículas “elementales”, la materia no solo estaba compuesta de electrones, neutrones y protones. Sobre todo habíamos encontrado muchísimo más *partículas hadrónicas* (las que experimentan interacción nuclear fuerte, como el neutrón o el protón) que *leptónicas* (las que no “sienten” esta interacción, como el electrón). En 1963, Gell-Mann y Zweig proponen un modelo donde clasifican a estas partículas hadrónicas a través de sus constituyentes, los *quarks*. La idea del modelo es muy similar a la tabla periódica de los elementos, ordenamos las partículas de acuerdo a los quarks que contengan. Para la década de 1970, habíamos desarrollado QCD, la teoría actualmente aceptada para explicar matemáticamente las interacciones entre las partículas hadrónicas.

Otra alternativa para explicar dichas interacciones fue la propuesta por Veneziano, el llamado *modelo dual de resonancia*. Pero este modelo no tuvo éxito, en general, porque no era renormalizable (no hay un método para controlar las divergencias) y porque presentaba *anomalías* (simetrías o leyes de conservación, como la de momento lineal, que se cumplen a nivel clásico, pero no al cuántico). Al estudiar este modelo, encontraríamos que sus *ecuaciones de movimiento* describían entes extendidos de una dimensión (*cuerdas*, en lugar de puntos) y que predecía la existencia del *gravitón* (partícula mediadora de la gravedad, cuya presencia no es deseable para una teoría puramente hadrónica). Este último resultado hizo que la interpretáramos como una

teoría cuántica de la gravedad en lugar de una hadrónica,<sup>1</sup> desarrollándose así la llamada *teoría de cuerdas bosónicas*. Sin embargo, los problemas anteriores de renormalización y de anomalías hicieron que esa iniciativa fuera abandonada.

A partir de 1984, logramos formular la *versión supersimétrica de la teoría de cuerdas*, o simplemente *supercuerdas*, con el resultado que no es única, pues determinamos *cinco teorías* consistentes, sin contradicciones lógicas y libres de anomalías. En física, pensamos que al final tendremos una única teoría que explique todo lo que esté en el universo, de ahí que hubo cierta desazón debido a la existencia de estas cinco teorías. A este periodo lo conocemos como la *primera revolución de las cuerdas*.

A partir de 1994, encontramos que las diferentes versiones de las supercuerdas (teorías de diez dimensiones) las podemos *unificar* a través de equivalencias (existen identificaciones uno a uno de los componentes de dos teorías supuestamente dispares, ver sección 8) y que están conectadas dentro de una teoría *madre* de once dimensiones, llamada la *teoría M*. La idea de teoría única vuelve de algún modo; aunque partamos de formulaciones matemáticas diferentes, pero ahora relacionadas por las equivalencias. A este periodo lo conocemos como la *segunda revolución de las cuerdas*. Entre los nuevos ingredientes que trae la unificación están las *branas* (entes físicos de  $p$ -dimensiones, ver sección 10) que permiten nuevos resultados como la *correspondencia AdS/CFT* (una realización concreta del principio holográfico, podemos estudiar un volumen del espacio a través de su frontera) y el entendimiento microscópico de la *termodinámica de los agujeros negros*.

### 3 Partículas puntuales clásicas

Como mencionamos anteriormente, las partículas las modelamos normalmente a través de puntos. Así, si dibujamos la trayectoria descrita por el movimiento de la partícula puntual en el espacio-tiempo, tenemos una curva, llamada *línea de mundo*.

La Fig. 2 muestra la línea de mundo para una partícula que se mueve en dos dimensiones (en el plano  $x$ - $y$ ). Note que la coordenada vertical  $t$  denota el tiempo, de ahí que el sistema de coordenadas representa el espacio-tiempo. Por tanto, la línea de mundo no representa el camino por donde

---

<sup>1</sup>En los últimos años, la investigación de cuerdas como teoría hadrónica se ha reactivado, pero todavía no existe una formulación concreta y plausible.

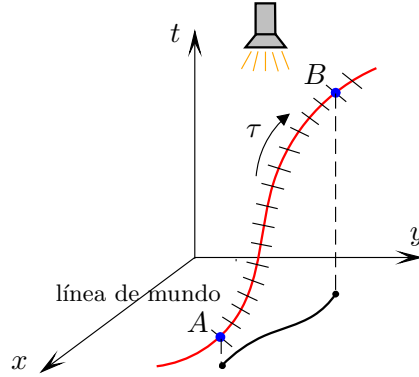


Figura 2: Trayectoria de un punto en el espacio-tiempo.

pasó la partícula, este camino es su proyección en el plano  $x-y$  (la sombra que deja la línea de mundo, si la “alumbramos” desde arriba). Por ejemplo, el punto  $A$  podría representar su casa y el punto  $B$ , su lugar de trabajo; de modo que  $A$  estaría dado por la latitud y longitud donde encontraríamos su casa y por la hora que usted sale hacia su trabajo, mientras  $B$ , por la latitud y longitud donde encontraríamos su oficina y por la hora que usted llega a trabajar. El largo de la curva que está en el plano  $x-y$  sería la distancia que usted recorre de su casa a su oficina.

Con esta figura, podemos ver que los puntos no son convenientes para representar partículas u objetos, puesto que matemáticamente no tienen dimensiones, lo que haría posible “poner” dos partículas en un mismo punto del espacio-tiempo, es decir, dos partículas podrían estar en el mismo lugar al mismo tiempo, lo que no es físicamente posible. Esta situación de estar en el mismo punto del espacio-tiempo aparece como divergencias en las QFT. Aunque existen métodos para controlar estas divergencias, una formulación más adecuada de la teoría debería incluir alguna dimensión a las partículas.

Cabe mencionar que nuestra representación puntual de las partículas tiene las siguientes *simetrías* (transformaciones o cambios que le podemos hacer al sistema de coordenadas o a los objetos, de manera que no alteremos la interpretación del fenómeno físico):

- *simetría del espacio-tiempo* [Fig. 3(a)]: la escogencia del sistema de coordenadas es arbitraria, así que podríamos rotar este sistema (incluso

hacer que los ejes no sean ortogonales) sin consecuencia alguna sobre la línea de mundo. También, es conocida como *simetría de Lorentz*. Si además permitimos que el origen del sistema de coordenadas se ubique en otro lugar, la llamaríamos *de Poincaré*.

- *simetría de parametrización de la línea de mundo* [Fig. 3(b)]: el modo cómo subdividimos esta línea es arbitrario, por lo tanto, cualquier subdivisión escogida no debe cambiar la forma de esta línea. Estas subdivisiones las escogemos preferiblemente para representar la unidad de tiempo que “siente” la partícula, el llamado *tiempo propio*  $\tau$ .

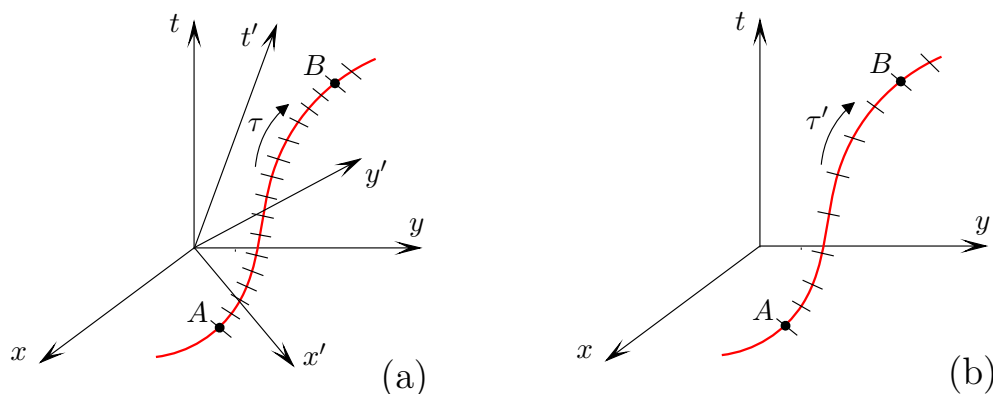


Figura 3: Las simetrías de las partículas puntuales: (a) la de Lorentz y (b) la de parametrización. Compare con la Fig. 2.

El concepto de simetría (o leyes de conservación) es muy importante para la formulación de teorías, pues los físicos teóricos las usan como puntos de partida, incluso la mayoría de ellos creen que ciertas simetrías seguirán siendo válidas dentro de la teoría del todo.

## 4 Cuerdas bosónicas clásicas

Cambiamos nuestro modo de modelar las partículas, usemos cuerdas en lugar de puntos. Ahora si dibujamos la trayectoria descrita por el movimiento de la partícula en el espacio-tiempo, tenemos una banda, llamada *hoja de mundo*.

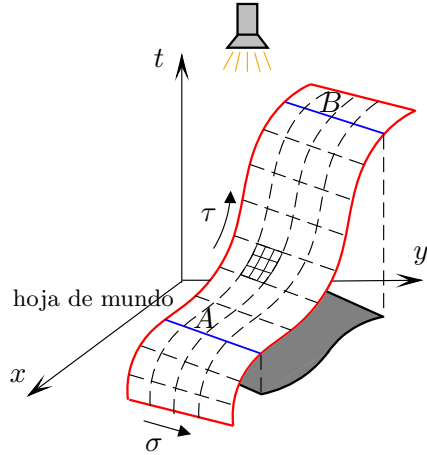


Figura 4: Trayectoria de una cuerda en el espacio-tiempo.

La Fig. 4 muestra la hoja de mundo para una partícula que se mueve en dos dimensiones (en el plano  $x-y$ ). Análogamente a la línea de mundo, la hoja de mundo no representa el camino por donde pasó la partícula, este camino (banda) es su proyección en el plano  $x-y$  (la sombra de la hoja de mundo alumbrada desde arriba). Repitiendo el ejemplo anterior, la línea  $A$  podría representar su casa y la línea  $B$  su lugar de trabajo (ahora si le damos dimensiones a su persona a través de su ancho, la distancia entre sus hombros). La distancia que usted recorre de su casa a su oficina estaría dada por el largo de la banda que está en el plano  $x-y$ . Obviamente, el modelaje apropiado de objetos macroscópicos requeriría de tres dimensiones (no una, como lo es una cuerda), pero como nos preocuparemos de las partículas elementales podremos proponer que son de una dimensión; al final al ser elementales no pueden estar formadas de algo más (por eso es elemental), incluso los experimentos no pueden “ver” la forma de estas partículas, así que “serán” cuerdas en el sentido de que nuestra teoría reproduzca exactamente los datos experimentales. Bajo esta premisa, las cuerdas tendrán un largo característico (extremadamente pequeño, llamado la escala de Planck) que limita completamente los experimentos, no podremos medir distancias más pequeñas que ese largo. Al final, la consistencia matemática de la teoría nos obligará a incluir entes de dimensiones mayores que uno (las branas, ver sección 10), así que habrán partículas asociadas a estos entes.

Veamos las ventajas de usar una cuerda en lugar de un punto como representación de una partícula en la Fig. 4:

1. La hoja de mundo requiere de dos parámetros  $\tau$  y  $\sigma$  para ser descrita en el espacio-tiempo, recuerde su curso de cálculo las superficies las parametrizamos con dos variables, mientras las curvas con una variable. Entonces, el nuevo parámetro  $\sigma$  podrá ser usado para darle dimensión (tamaño) a las partículas que era nuestro objetivo inicial.
2. El cambio de la representación de las partículas nos hace involucrar una nueva simetría, además de las anteriores. Ahora tenemos:
  - *simetría del espacio-tiempo o de Lorentz*: la escogencia del sistema de coordenadas sigue siendo arbitraria.
  - *simetría de parametrización de la hoja de mundo*: el modo cómo subdividimos la hoja, tanto a lo ancho como a lo largo, es arbitrario, así cualquier otra subdivisión en la hoja no cambia su forma. En otras palabras, el modo cómo cuadrículamos la hoja es arbitrario, así cualquier otro cuadrículado en la hoja no cambiará su forma, incluso la cuadrícula no tiene que ser de cuadrados, podrían ser de rombos o cualquier otro cuadrilátero [figura geométrica de cuatro lados, ver Fig. 5(a)]. Las subdivisiones del largo podrán representar las unidades del tiempo propio  $\tau$ ; mientras las del ancho, las unidades de longitud propia  $\sigma$ .
  - *simetría de la métrica local*: el concepto de métrica es muy importante cuando se trabaja con coordenadas generalizadas, e.g. las esféricas, las rectangulares no son las únicas que se pueden usar. Su uso principal es para determinar apropiadamente las distancias entre dos puntos o el largo de una curva, así por ejemplo en coordenadas polares, escribiríamos que el diferencial de arco de un círculo de radio  $r$  es  $d\ell = r d\theta$  y diríamos que el factor  $r$  que nos permite calcular  $d\ell$  a través de  $d\theta$  proviene de la métrica. Volviendo a la hoja de mundo, se puede mostrar que podemos reescalar su métrica interna (local) sin modificar su forma o tamaño, sería como cambiar los patrones de medida internos sin tener la consecuencia que se cambien los del espacio-tiempo, en otras palabras dentro de la hoja de mundo no hay escalas (decir km o m es lo mismo). Esta peculiaridad no es posible en objetos de dimensiones

mayores como las branas. El nombre técnico de esta simetría es *de Weyl o de reescalamiento local de la métrica* [ver Fig. 5(b)].

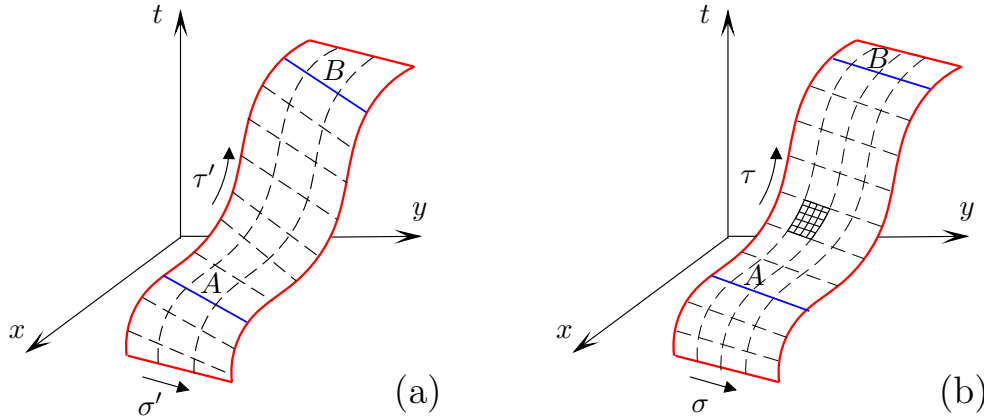


Figura 5: Las simetrías de las cuerdas bosónicas: (a) la de parametrización y (b) la de Weyl. Compare con la Fig. 4 y note que la primera simetría modifica el cuadrículado, mientras la segunda lo deja igual, pero ahora los cuadros son de  $4 \times 5$ , en lugar de  $3 \times 3$  en unidades vistas dentro de la hoja mundo; en el espacio-tiempo los cuadros no cambian sus dimensiones.

3. A diferencia de los puntos, las cuerdas tienen dimensión, sus largos; por lo que podríamos “jugar” con sus puntas para formar dos tipos de cuerdas: *las abiertas y las cerradas* (ver Fig. 6). Por tanto, habría dos “tipos” de partículas de acuerdo a si las modelamos como cuerdas abiertas (ej. *el fotón*, la partícula que media la interacción electromagnética) o cerradas (ej. *el gravitón*, la que media la gravitacional).
4. Podríamos también hacer vibrar a la cuerda, en el sentido que haya una onda (o varias) trasladándose en ella, como en una cuerda de guitarra o cuando uno toma un extremo de un mecate que está atado en su otro extremo y lo comienza a oscilar. El objetivo teórico es que cada *modo de vibración* sirva para definir diferentes partículas. Por ejemplo, el modo de vibración *uno* podría definir a un electrón y el modo *dos*, a un muón (partícula similar al electrón, pero con mayor masa). En cuerdas cerradas, clasificamos estas vibraciones de acuerdo a la dirección en que se propagan las ondas, las llamaremos *derechas* a las que van en

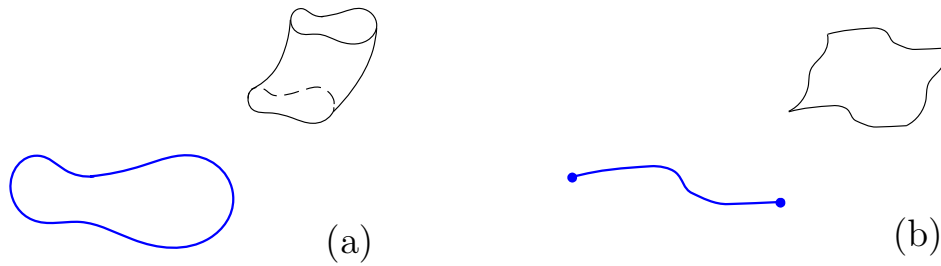


Figura 6: Clasificación de la cuerda de acuerdo a si está: (a) cerrada o (b) abierta. Al lado la hoja de mundo respectiva.

dirección contraria a las manecillas de reloj e *izquierdas* a las que van a favor, vistas de frente al movimiento de la cuerda (ver Fig. 7). Para cuerdas abiertas, esta clasificación no tiene sentido porque sus puntas “devuelven” o “rebotan” a las ondas, por tanto, al llegar a una de las puntas la dirección de la propagación cambia, estrictamente tendremos una superposición de ambas ondas (una onda estacionaria).

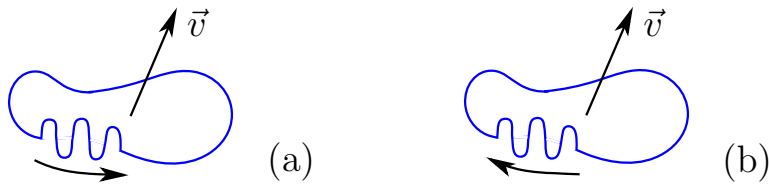


Figura 7: Las “manos” de las cuerdas cerradas: (a) las derechas y (b) las izquierdas. Note que si su pulgar apunta en la dirección de  $\vec{v}$  y el resto de sus dedos en la de la propagación de las ondas, usted podrá correlacionar estas cuerdas con sus respectivas manos.

Con todas las ideas anteriores, formulamos la teoría de cuerdas bosónicas. Una escogencia particular de las simetrías nos permite simplificar las ecuaciones de movimiento como ecuaciones de onda (las mismas del curso de física general). Entonces, decimos que *fijamos la calibración* (*gauge-fixing*) cuando exigimos una escogencia particular entre todas las posibles. Con esta

calibración, obtendríamos la solución de las ecuaciones a través de una *expansión de modos normales* (representación de una vibración general como una superposición de osciladores armónicos simples, al estilo de una serie de Fourier que representa cierta función periódica). Para cuantizar la teoría (reescribir esta solución con operadores), lo haríamos usando las reglas de conmutación usuales (como las del curso de mecánica cuántica) que determinarían el álgebra de los operadores de subida y bajada de la teoría. Lo que continúa es entonces definir el estado base y con los operadores de subida construiríamos todos los otros estados físicos, lo que permite establecer completamente la teoría al nivel cuántico. Finalmente, la consistencia matemática de la teoría requiere que nuestra solución completa (operadores, estados, ...) respete la simetría de Lorentz, lo que obliga a introducir *dimensiones extras* al espacio-tiempo, ya no son tres dimensiones de espacio y una de tiempo, sino 25 de espacio y una de tiempo. El mecanismo para lidiar con las dimensiones extras es la compactificación (ver sección 7) y su interpretación física estaría asociada con la estructura de nuestro universo cuatridimensional y las partículas que contiene.

El análisis de cómo transformamos, bajo la simetría de Lorentz, los estados físicos sin masa conlleva a identificarlos con las siguientes partículas: el gravitón, el fotón, el *dilatón* (la que determina la “intensidad” de acoplamiento entre las cuerdas) y una especie de “fotón” tensorial (asociado a un tensor antisimétrico, llamado campo de Kalb-Ramond). Sin embargo, existe un “pequeño problema”, la presencia de *taquiones* (“partículas” que pueden viajar más rápido que la luz). Esta situación no es deseable físicamente, porque de acuerdo a la teoría de la relatividad, no existe objeto alguno que viaje más rápido que la luz. Por tanto, como deseamos una teoría unificadora que incluya relatividad, esta característica hace que la debemos descartar. Aunque existe una interpretación diferente de estos estados taquiónicos que permite eludir este problema y retomar la teoría físicamente (la llamada *condensación taquiónica*, donde consideraríamos al estado del vacío de la teoría como inestable debido a un rompimiento espontáneo de una de sus simetrías). Nuestra formulación anterior de las cuerdas bosónicas no sería entonces la adecuada y requeriría de una reformulación que involucraría también branas desde el principio.

Las cuerdas tienen *orientación*, la cual podemos visualizar de la siguiente manera. En el caso de cuerdas cerradas (ver Fig. 8), uno imagina que coloca una hormiga en la parte externa de la hoja de mundo y esta comienza a caminar, entonces si al completar una vuelta a la hoja, la hormiga regresa

al punto de partida, implicará que la cuerda está orientada; en caso contrario, no está orientada, la hormiga necesita dar dos vueltas para regresar al punto de partida. Para cuerdas abiertas, definimos la orientación a través de sus puntas a las que les asignamos cargas (no tener, significa que la carga es cero). Estas cargas no son las eléctricas (denominadas como factores de Chan-Paton), pero tienen propiedades similares y además permiten incorporar otras simetrías a la teoría, por ejemplo, la simetría de color, la que determina cómo interactúan los quarks entre sí. Entonces, si las cargas son iguales, diremos que la cuerda no está orientada (no podemos distinguir sus puntas) y si son diferentes, que sí lo está (ver Fig. 9).

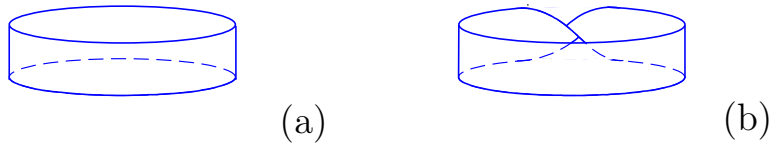


Figura 8: Clasificación de las cuerdas cerradas de acuerdo a si su hoja de mundo: (a) está orientada o (b) no está orientada. El caso (b) es cuando uno toma una tira de papel y le da una media vuelta antes de pegarle sus bordes, en matemática la llamamos la *banda de Möbius*.

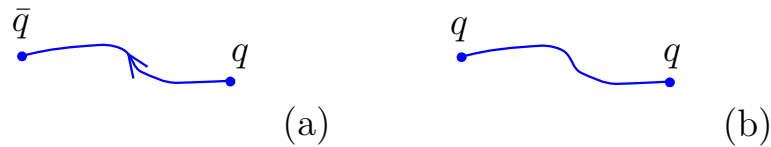


Figura 9: Clasificación de las cuerdas abiertas de acuerdo a: (a) si están orientadas o (b) no lo están.  $\bar{q}$  denota la carga opuesta a  $q$ .

Por tanto, podemos clasificar las cuerdas según esta orientación. Matemáticamente, podemos mostrar que las cuerdas sin orientación no pueden interactuar con las orientadas y viceversa, la interacción entre las cuerdas requieren que sean de una misma “especie” dentro de la formulación de una teoría. Por ejemplo, en las cuerdas cerradas no existe ninguna manipulación sobre la hoja (una transformación continua, como estirla o doblarla) que permita convertir una hoja orientada en una que no lo es (el único modo es cortándola y pegándole los bordes nuevamente, pero este proceso en la hoja está prohibido porque no es continuo). Esta prohibición sobre la orientación más el hecho que las cuerdas abiertas pueden interactuar y formar cuerdas cerradas (la manipulación de unir las cuerdas es siempre permitida, pero no necesariamente la de romperlas o cortarlas) hacen que podamos formular cuatro teorías bosónicas diferentes:

1. la de cuerdas cerradas orientadas:  $G_{\mu\nu}, B_{\mu\nu}, \Phi$ ;
2. la de cuerdas cerradas sin orientación:  $G_{\mu\nu}, \Phi$ ;
3. la de cuerdas cerradas y abiertas orientadas:  $G_{\mu\nu}, B_{\mu\nu}, \Phi, A_\mu$ ; y
4. la de cuerdas cerradas y abiertas sin orientación:  $G_{\mu\nu}, \Phi$ ;

donde  $G_{\mu\nu}$  denota al gravitón,  $B_{\mu\nu}$  al “fotón” tensorial,  $\Phi$  al dilatón y  $A_\mu$  al fotón. Hemos solo indicando cuales partículas sin masa están presentes en cada teoría. Note que en todas el gravitón está presente, de ahí que digamos que una teoría de cuerdas “predice” la existencia del gravitón (es una consecuencia) o equivalentemente siempre tenemos a GR. La presencia del taquión en todas estas teorías sigue siendo el talón de Aquiles.

Otra consecuencia importante de una teoría de cuerdas es el hecho que existe una “única forma” de dibujar (y por tanto, de calcular) una interacción entre las partículas (ver Figs. 10 y 11). El significado de única podemos entenderlo así: dado un tipo de interacción entre las cuerdas, este puede representar diferentes interacciones entre diferentes partículas, donde la escogencia de los modos de vibración determina de cuál interacción en particular estamos hablando. Esto en contraposición con la representación puntual que requiere de la introducción de ciertas funciones específicas asignadas a cada una de las partículas, llamadas *propagadores* y representadas por líneas en la Fig. 10(a), el propagador de la  $A$  no es necesariamente igual al del  $B$ . Desde el punto de vista de cuerdas, el propagador es único para todas las partículas

que la cuerda pueda representar; contrario a QFT, donde es específico a cada una de ellas. Por ejemplo, la Fig. 10 muestra el proceso donde dos partículas incidentes  $A$  y  $B$  interactúan a través del intercambio de las mediadoras  $\gamma$  y resultan en  $C$  y  $D$  (las emergentes). En el caso (a), las partículas son vistas como puntos, note entonces que los dos diagramas (de Feynman) son diferentes, el de la izquierda intercambia cuatro  $\gamma$  y el de la derecha, solo dos. Mientras en el caso (b), vistas como cuerdas, los diagramas son los mismos, la “desaparición” de los tubos horizontales no cambian (topológicamente) los dibujos, el de la derecha los “tiene”, pero encogidos. Este es el tipo de argumento que implica una “única forma”. Incluso note que el punto de unión de las líneas en (a), llamado vértice, no aparece en (b); evitando para efectos de cálculo un problema de divergencia al “poner” los propagadores en un mismo punto del espacio-tiempo, lo que permitirá luego incorporar la interacción gravitacional sin incoherencias matemáticas.

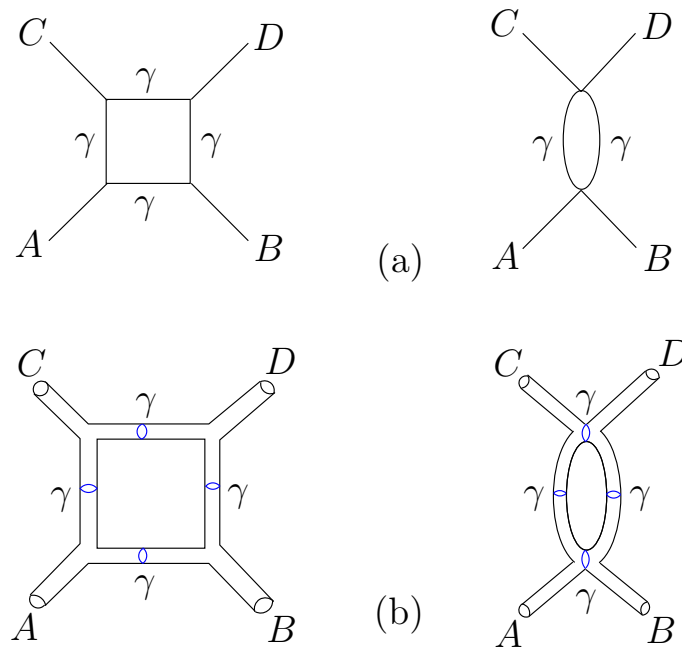


Figura 10: Interacción entre dos partículas modeladas como: (a) puntos y (b) cuerdas cerradas. Note que el diagrama de cuerdas cerradas lo obtenemos al “inflar” el de QFT.

Estas equivalencias (topológicas) entre los diagramas en una teoría de cuerdas conlleva también a que el número de los mismos disminuya en comparación con los presentes en QFT (sin importar la orientación de las cuerdas o si son abiertas, aunque en estos casos hay más diagramas que con las cerradas orientadas). La Fig. 11 muestra la interacción completa entre las dos partículas vistas como cuerdas, cada dibujo es un diagrama de Feynman que involucra las diferentes posibilidades en que la interacción se puede dar debido a la cantidad de partículas mediadoras que se intercambian. Así el primer diagrama intercambia una mediadora (el tubo intermedio lo hemos “inflado” para que parezca una bola); el segundo, cuatro mediadoras; el tercero, siete. . . En este caso particular, la teoría de cuerdas está formulada con la regla de interacción: solo la unión directa de tres tubos es permitida, i.e. la interacción directa involucra a tres cuerdas cerradas y orientadas.

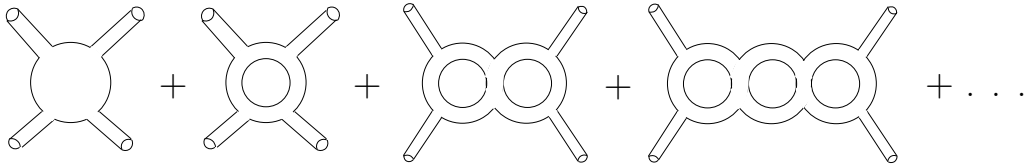


Figura 11: Interacción completa entre dos cuerdas cerradas y orientadas.

## 5 Introduciendo supersimetría

Como vimos en la sección anterior, la presencia del taquión hizo que nuestro plan de una teoría unificadora a través de cuerdas bosónicas fracasara o al menos no sabemos actualmente cómo lidiar con estos estados taquiónicos para formularla adecuadamente. Por tanto, intentemos poner nuestro esfuerzo en generalizar nuestra formulación de teorías de cuerdas con la herramienta de siempre en física, simetrías, y con el objetivo de unificar.

En nuestra formulación puntual de QFT, existe una propiedad física, llamada *espín*, que permite clasificar las partículas en *bosones* y *fermiones*. Los primeros tienen la peculiaridad de poderse aglomerar entre ellos sin límite alguno en un volumen dado (serían como fantasmas “llenando” un cuarto) y los segundos no tienen esa capacidad, sí tienen límite (serían como personas llenando el cuarto), a este límite lo conocemos como el *principio de*

*Pauli.* En general, los bosones son las partículas mediadoras de la interacción, como el fotón, y los fermiones son las partículas materiales, como el electrón. Matemáticamente, decimos que los campos que representan los bosones conmutan (como los números reales), mientras los de los fermiones anticonmutan (como los vectores en el producto cruz).

Trasladando este concepto a las cuerdas, podemos decir que lo más general es que hayan unas que sean bosónicas y otras, fermiónicas (de ahí el nombre de bosónicas en la sección anterior). Ahora intentemos ir más allá, propongamos una simetría que nos diga que para cada fermión debe existir un bosón (o viceversa) de manera que ambos tengan todas las propiedades físicas (masa, carga eléctrica. . .) iguales con excepción obviamente del espín. Esta simetría de emparejamiento la bautizaremos como *supersimetría*. Por ejemplo, la pareja supersimétrica del electrón es el *s-electrón*. Los nombres de las compañeras de las partículas materiales (fermiones) es simplemente agregando el “prefijo” *s*; en caso de las mediadoras (bosones) es agregando el “sufijo” *ino*, así tenemos la pareja fotón-fotino. Sin embargo, nadie ha visto un s-electrón u otra (super)pareja, es decir, no han sido descubiertos aún en los aceleradores de partículas. Para explicar porqué no las hemos visto, introduciremos el concepto de *rompimiento de simetría*; durante la evolución del universo se dio un proceso que hizo que la simetría se perdiera provocando que la masa del s-electrón fuese demasiado grande comparada a la del electrón, por lo tanto, necesitamos energías muy grandes para verlo.<sup>2</sup> Por ejemplo, este concepto lo usamos en ferromagnetismo, el hierro es atraído por imanes si su temperatura es menor que la de Curie (768° C), caso contrario no; la simetría donde no hay dominios magnéticos se rompe a la temperatura de Curie.

Comencemos entonces a formular una teoría supersimétrica de cuerdas, por simplicidad, consideremos solo cuerdas cerradas (recuerde de la sección anterior que este tipo de cuerdas debe estar siempre en la formulación de la teoría). Por tanto, dentro de la nueva propuesta tendríamos las bosónicas, como las que ya hemos estudiado anteriormente, más sus superparejas: las fermiónicas. Siguiendo nuestra proposición de supersimetría: todas las propiedades son iguales, excepto el espín. Consecuentemente, implicaría que

---

<sup>2</sup>Cabe mencionar que los primeros resultados del LHC, el más potente acelerador de la actualidad, no han favorecido al concepto de supersimetría, en otras palabras, las mediciones no han mostrado todavía la existencia de las superparejas. Por tanto, si los resultados continúan “apuntando” a la inexistencia, la validez de supersimetría se verá cada vez más limitada al punto que no tendría aplicación alguna a la física de partículas.

todos los criterios anteriores aplicados a las cuerdas bosónicas deben ser también aplicables a las fermiónicas, así por ejemplo, habrán unas que son derechas y otras izquierdas. Sin embargo, habrá otra propiedad que no tiene que ser igual y que no fue mencionada previamente: la *periodicidad* de la hoja de mundo. Decimos que una función es periódica cuando repite sus valores cada vez que la evaluamos a cierto intervalo (el periodo), como lo es la función seno que se repite cada  $2\pi$ , pero la llamaríamos *antiperiódica*, si repite con cambio de signo, como sería la función seno si la evaluamos cada  $\pi$  (suponiendo ahora que el periodo fuese  $\pi$ ) pues  $\sin(\theta + \pi) = -\sin(\theta)$ . Podríamos entonces definir esta propiedad a las hojas mundo siempre y cuando respete las simetrías de la teoría, sobre todo la de Lorentz. En nuestro caso, el rol del periodo lo tiene la longitud propia de la cuerda  $\ell$  (la escala de Planck) y la variable en la que está definida la periodicidad es  $\sigma$  (ver Fig. 4), es decir, si evaluamos en  $\sigma$  y en  $\sigma + \ell$ , podríamos obtener el mismo valor (diremos que la cuerda es periódica) o un signo de diferencia (cuerda antiperiódica). El permitir que  $\sigma$  pueda tener todos los valores, originalmente  $0 \leq \sigma \leq \ell$ , es lo mismo que hacemos cuando trabajamos en coordenadas polares, el ángulo polar  $\theta$  está estrictamente definido entre 0 y  $2\pi$ , pero puede ser extendido a todos los números reales, si no existe ningún problema de ambigüedad matemática. Volviendo a las cuerdas, tenemos que las bosónicas solo pueden ser periódicas y las fermiónicas sí pueden tener ambas periodicidades. El motivo principal de esta diferencia es que las cantidades físicas, como la energía, calculadas con las fermiónicas siempre las involucran en parejas, mientras para las bosónicas no necesariamente. Por lo tanto, no es una dificultad incorporar la antiperiodicidad en las fermiónicas debido a que nuestro interés de periodicidad es sobre las cantidades físicas (lo que medimos en los experimentos) y no sobre la cuerda (lo que modela las partículas), eso sí, la teoría debe emparejar adecuadamente para que así suceda, i.e. dos antiperiódicas o dos periódicas. Técnicamente, no usamos las palabras periódica y antiperiódica en su lugar decimos que están en el sector de Ramond (o simplemente R) y en el de Neveu-Schwarz (o NS), respectivamente.

Ahora debemos agregar estos sectores a la formulación de la teoría, sin olvidar las simetrías y las diferentes clasificaciones que hicimos en la sección anterior. El procedimiento a seguir es muy parecido a lo que hicimos cuando introducimos el concepto de orientación, debemos investigar las prohibiciones de pasar de un tipo de cuerda a otro. Analizando la simetría de “manos” de las cuerdas cerradas (ver Fig. 7), tenemos que si hay izquierdas, deben

haber también derechas, por tanto, habrán cuatro sectores en relación a cuál sector está cada una, lo que respectivamente denominaremos como NS-NS, NS-R, R-NS, R-R (para las fermiónicas). Para las abiertas, esta simetría está ausente, por lo que solo habrá dos sectores: R y NS. Finalmente, introducimos un operador, llamado *número fermiónico*, que “cuenta” por separado cuantas cuerdas derechas o izquierdas hay en un estado físico, lo que permite definir los sectores ‘+’ y ‘-’ en referencia a si hay un número par o impar de ellas, respectivamente. Incluyendo esta subdivisión de las fermiónicas, llegamos a tener estrictamente un total de *16 sectores* diferentes en las cuerdas cerradas y *cuatro* en las abiertas. Por ejemplo, existen los sectores: (NS+, NS+) y (R-, NS+) en cerradas, (NS+) y (R-) en abiertas, entre otros. En principio podríamos formular un sin número de teorías si permitimos combinar a nuestro gusto estos sectores. Sin embargo, las siguientes “prohibiciones” (requisitos) en los sectores restringen enormemente el número de teorías de supercuerdas posibles:

1. Coincidencia en los modos de vibración entre las derechas y las izquierdas (*level-matching*); la simetría de mano obliga a la teoría, por ejemplo, a tener tanto la derecha de modo tres como a la izquierda de modo tres.
2. Los cálculos de las interacciones entre los sectores estén bien definidos, sin ninguna ambigüedad matemática.
3. El sector resultante de la interacción entre dos sectores debe incluirse para que la teoría cierre.
4. La teoría debe tener los sectores R-NS y NS-R o en su lugar el R-R debido a la *invariancia modular*, simetría de los diagramas de Feynman que representan el estado del vacío de la teoría.
5. Ausencia de taquiones, los sectores que representen esta partícula non grata no deben incluirse en la teoría.
6. La dimensión del espacio-tiempo sea *diez* para que la teoría esté libre de anomalías.
7. Que la supersimetría también se refleje en los estados físicos de la teoría, así al identificarlos con las partículas establezcamos siempre la pareja

supersimétrica, por ejemplo, gravitón-gravitino. Originalmente, la *supersimetría está en las hojas de mundo* de las cuerdas, así que al “llevarla” a los estados decimos que tenemos *supersimetría en el espacio-tiempo*. Ese proceso de llevarla lo llamamos *proyección GSO*.

8. Prohibición sobre la orientación, cuerdas orientadas no interactúan con las que no lo están.
9. Cuerdas cerradas siempre estarán presentes en cualquier teoría de cuerdas.

Las últimas dos son las que impusimos en las teorías bosónicas. A pesar de imponer todos estos requisitos, podemos mostrar que existen cinco opciones viables para formular adecuadamente una teoría de supercuerdas, las describiremos en la siguiente sección. Incluso el número es todavía muchísimo mayor si consideramos que la compactificación no es única, existen varias maneras de lidiar con las dimensiones extras (ver sección 7). Aclaremos que en las secciones siguientes, usaremos la palabra supercuerdas para referirnos tanto a las teorías formuladas con supersimetría (cumplen con el requisito 7) como a las cuerdas presentes en dichas teorías, el significado lo seguiremos por contexto. Si eliminamos el requisito 7, es posible todavía formular teorías consistentes, no las llamaríamos supercuerdas de acuerdo a nuestra aclaración previa, pero las descartamos porque suponemos que las partículas vienen en superparejas, a pesar de que todavía no hemos visto ninguna.

## 6 Teorías de supercuerdas

Como mencionamos en la sección anterior, la supersimetría permite formular las supercuerdas en cinco diferentes posibilidades con consistencia matemática (de acuerdo a los requisitos previos). A continuación describiremos brevemente cada una de ellas.

### Supercuerdas tipo II-A:

Las formulamos con *cuerdas cerradas y orientadas*, donde tanto las cuerdas derechas como las izquierdas tienen por separado su propia supersimetría de espacio-tiempo. La proyección GSO para esta teoría involucra los sectores NS+ y R+ de las derechas contra los sectores NS+ y R- de las izquierdas (decimos que los estados no son quirales).

Si incluimos branas (ver sección 10) dentro de su formulación, la teoría también contiene *cuerdas abiertas y orientadas*. Con la presencia de las abiertas, podemos incorporar más simetrías a estas teorías a través de sus puntas, ver Fig. 9(a). El requisito 6 de la sección anterior es suficiente para no tener anomalías.

### **Supercuerdas tipo II-B:**

Tiene la misma descripción anterior, sin embargo, la proyección GSO involucra solo los sectores con ‘+’ (decimos que los estados son quirales).

### **Supercuerdas tipo I:**

Las formulamos con *cuerdas abiertas y cerradas que no están orientadas*, es la versión sin orientación de las supercuerdas tipo II-B. La presencia de las abiertas, debido a sus condiciones de frontera, obliga a que las cuerdas derechas y las izquierdas tengan la misma supersimetría de espacio-tiempo. Estas modificaciones respecto a las de tipo II-B hacen que la teoría tenga anomalías, el requisito 6 de la sección anterior no es suficiente, por lo que requeriremos imponer una simetría extra, llamada  $SO(32)$ , en las puntas de las abiertas para restaurar la consistencia matemática. Es la única teoría de supercuerdas en donde las cerradas pueden romperse para originar cuerdas abiertas. Contiene obligatoriamente branas por consistencia, debido a que tiene cuerdas abiertas (ver sección 11).

### **Supercuerdas heteróticas de $SO(32)$ :**

Las formulamos con *cuerdas cerradas y orientadas*, donde las derechas son como las del tipo II (note que sus sectores tanto en II-A como en II-B son los mismos) y las izquierdas son solo cuerdas bosónicas (las de la sección 4), una heterogeneidad entre teorías de cuerdas. Por tanto, la supersimetría de espacio-tiempo solo actúa en las cuerdas derechas, no hay en las izquierdas por no haber cuerdas fermiónicas. Para poder “manejar” las 26 dimensiones de las cuerdas bosónicas, de tal manera que todo “exista” en las diez dimensiones que implica la supersimetría, es necesario imponer la simetría  $SO(32)$  en las cuerdas izquierdas, bajo una modificación teórica apropiada en ellas para restablecer adecuadamente los requisitos de la sección anterior debido a que la heterogeneidad no cumple con algunos de ellos.

## Supercuerdas heteróticas de $E_8 \times E_8$ :

El manejo de las 26 dimensiones es también posible con otra simetría, la llamada  $E_8 \times E_8$ . De ahí que existan dos tipos de teorías heteróticas de acuerdo a la simetría empleada.

## 7 Compactificación

Para lidiar con las dimensiones extras, decimos que están *compactificadas*, el tamaño de estas dimensiones es finito, como por ejemplo, un tubo infinitamente largo que sería un espacio de dos dimensiones (no consideremos su grueso, por tanto, es una superficie), donde una de ellas sería infinita (su largo) y la otra, finita (su circunferencia, la que está compactificada).<sup>3</sup> Para efectos físicos, las dimensiones compactificadas son además extremadamente pequeñas para que los experimentos actuales no las hayan “visto”, en el ejemplo la circunferencia sería bien pequeña y nuestro tubo lo veríamos prácticamente como una línea, “perdiéndose” lo hueco.

Basado en las supercuerdas, el universo tendría diez dimensiones o 9+1 (notación que indica más explícitamente el hecho que son nueve dimensiones espaciales y una para el tiempo), que denotamos matemáticamente como  $M^{9+1}$ . Como nuestro universo observable es de cuatro dimensiones o 3+1, tenemos que restringir las otras seis dimensiones presentes en las supercuerdas a un espacio compactificado, por lo que denotaremos como  $M^{3+1}$  y  $X^6$ , respectivamente. Por tanto, nuestra propuesta la escribimos como:  $M^{9+1} = M^{3+1} \times X^6$ . Por relatividad general sabemos que el espacio-tiempo es dinámico (evoluciona, no ha sido siempre el mismo), así consideramos también que al inicio nuestro universo estaba completamente compactificado y luego se dio un proceso que lo “descompactificó”, el *Big Bang*, según las supercuerdas solo debió afectar a tres de las dimensiones y no a todas.

La Fig. 12 muestra una representación visual de este espacio-tiempo, el  $M^{9+1}$ , la idea es que en cada punto del espacio-tiempo observable, el  $M^{3+1}$ , existe un espacio compactificado, el  $X^6$ ; así si nos encontramos en el punto  $P$  de la figura, “veríamos” que estrictamente nos hallamos en la superficie de una esfera  $S^6$  (el  $X^6$  más simple a escoger). Note que cada punto tiene su propia esfera, por tanto, la de  $Q$  es otra. También que el concepto de *esfera*

---

<sup>3</sup>La idea de *compactificar* fue introducida originalmente por Kaluza y Klein en un intento por unificar electromagnetismo con GR durante la década de 1920.

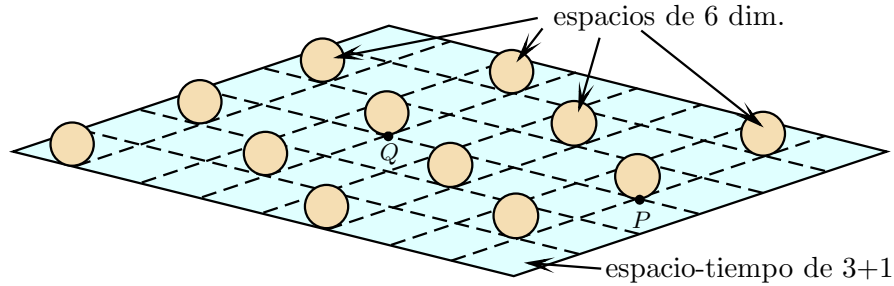


Figura 12: Representación visual de un espacio-tiempo de 9+1.

es más general al que habitualmente conocemos, en esta notación la denotaríamos por  $S^2$ . Otro ejemplo: el círculo es la esfera  $S^1$ . El superíndice, por tanto, indica la dimensión de la *superficie* de la esfera, otro concepto más general que lo usamos en referencia a la “capa externa”, estrictamente la esfera  $S^1$  es la circunferencia. Entre otras posibilidades para el espacio  $X^6$ , además de la esfera  $S^6$ , y que son matemáticamente válidos dentro de la formulación teórica, están los espacios de Calabi-Yau (incluyen al toro, nombre matemático para la superficie de una dona en el caso de dos dimensiones), las orbifoldes (orbifolds) y los espacios proyectivos. Debido a esta gama de espacios posibles para  $X^6$ , tenemos que estrictamente cada teoría de supercuerdas representa varias, pues cada uno de estos espacios generan diferentes resultados teóricos a través de los parámetros que los describen, por ejemplo, la esfera  $S^6$  solo incorpora un parámetro: su radio. Sin embargo, una revisión más detallada de estos espacios permite mostrar que existen equivalencias entre ellos, la *simetría de espejo* (*mirror symmetry*), lo que reduce en cierto modo la cantidad de teorías de supercuerdas.

Ahora revisemos si hay alguna consecuencia en las cuerdas debido a la compactificación. Consideremos una dimensión compactificada como en la Fig. 13, notamos entonces que las cuerdas cerradas tendrían una nueva propiedad relacionada con el número de veces que la cuerda se encuentra enrollada en dicha dimensión; la bautizaremos como *número de enrollamiento* (*winding number*), la denotaremos con  $w$  y le incluiremos signos para distinguir los dos sentidos de enrollamiento. Con más cuidado, podemos definir  $w$  a las cuerdas abiertas (ver Fig. 18). Esta nueva cantidad física tiene su propia ley de conservación, análoga a la del momento lineal, en una interacción en-

tre cuerdas el número total de enrollamiento  $w_T$  debe permanecer constante entre el estado inicial y el final. En la Fig. 13, la transición mostrada tiene  $w_T = 0$ . Otra característica que adquieren las cuerdas por la compactificación es que su momento lineal está ahora cuantizado, i.e. sus valores son discretos, al estilo de la carga eléctrica de los cursos de física general. En la siguiente sección, veremos cómo estas cantidades ayudan a establecer las dualidades entre las teorías.

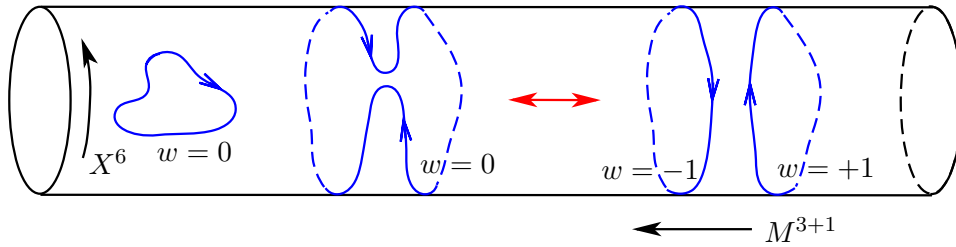


Figura 13: Representación visual de cuerdas cerradas y orientadas con  $w = -1, 0, +1$ . La flecha doble indica la transición de una cuerda de  $w = 0$  a dos de  $w = -1$  y  $w = +1$  (hacia la derecha) o la transición de dos a una (hacia izquierda). Las flechas indican el sentido en que se “enrolló”, a pesar de que no se enrolle en la dimensión compactificada. La figura estrictamente representa una dimensión compactificada y la otra no, el tubo infinitamente largo. Si fuese realmente  $X^6$ , habrían seis números de enrollamiento, uno por cada dimensión compactificada.

## 8 Dualidades

La existencia de cinco teorías de supercuerdas desmotivó a los físicos teóricos durante un tiempo, pues no existía ningún criterio matemático o físico para considerar que una de ellas fuera la teoría más apropiada en la descripción de la naturaleza. Fue entonces cuando el descubrimiento de las dualidades reactivó las supercuerdas, dándoles un nuevo aire.

Las dualidades son operaciones matemáticas que identifican los “ingredientes” (funciones, operadores, estados...) de dos teorías supuestamente dispares. Esta identificación es de uno a uno, cada ingrediente de una de

las teorías tiene su “pareja” en la otra. Por ello, decimos que las teorías son *equivalentes*: los sistemas físicos aparentemente diferentes que describen son estrictamente los mismos. Como ejemplo considere la teoría electromagnética sin fuentes (no hay cargas ni corrientes). La pareja será el campo eléctrico  $\vec{\mathbf{E}}$  y el magnético  $\vec{\mathbf{B}}$ . La dualidad será entonces que las ecuaciones de Maxwell (las que definen la teoría) no cambian bajo la identificación  $\vec{\mathbf{E}} \rightarrow -\vec{\mathbf{B}}$  y  $\vec{\mathbf{B}} \rightarrow \vec{\mathbf{E}}$ , i.e. intercambie  $\vec{\mathbf{E}}$  por  $-\vec{\mathbf{B}}$  y  $\vec{\mathbf{B}}$  por  $\vec{\mathbf{E}}$  en esas ecuaciones y verá que las obtiene de nuevo. Desempolva su libro de física y verifique esta aseveración, por simplicidad, use la velocidad de la luz igual a uno ( $c = 1$  o  $\epsilon_0 = \mu_0 = 1$ ). Por tanto, diremos que esta teoría es equivalente (o dual) a sí misma, la física (las ecuaciones de Maxwell) sigue siendo la misma sin importar el intercambio propuesto de los campos.

En algunos casos, establecemos la equivalencia bajo conjetura, según un “emparejamiento” parcial, en otras palabras, no hay una demostración formal debido a que no conocemos todos los ingredientes de las teorías, ver la siguiente sección. En supercuerdas, clasificamos estas dualidades en tres tipos:

### Dualidades T

Son las que relacionan las teorías de diferentes geometrías del espacio compactificado sin cambiar las *constantes de acoplamiento*, i.e. las teorías presentan la misma “intensidad en sus interacciones” bajo la dualidad. La más conocida y simple es la que hace la equivalencia de las teorías a través del radio de la dimensión compactificada  $r$  (ver Fig. 14). En este caso, establecemos la equivalencia entre una teoría con radio pequeño y otra con radio grande. Particularmente, tenemos la equivalencia entre las teorías de  $R \rightarrow \infty$  y de  $R \rightarrow 0$ , una teoría con una dimensión extra *descompactificada* es equivalente a una compactificada con un radio extremadamente pequeño. Consecuentemente, podemos considerar solo teorías con  $r \geq \ell$  para cuestiones físicas, al menos en el sentido que nos es más fácil interpretar la física en estos casos que cuando  $0 \leq r \leq \ell$ , debido a nuestra experiencia en QFT. De ahí, deducimos que la dimensión más pequeña es  $\ell$ , que es consistente con nuestra propuesta de que no podemos “ver” más allá de la escala de Planck. En esta dualidad, una pareja de ingredientes es el número de enrollamiento y el momento lineal de la cuerda. Otro ejemplo, similar al de la Fig. 14, es entre las heteróticas  $E_8 \times E_8$  y  $SO(32)$  y otros más sofisticados involucran la simetría de espejo.

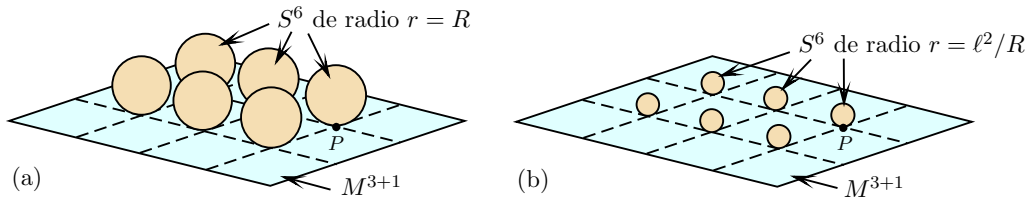


Figura 14: La dualidad T entre las teorías: (a) tipo II-A con  $r = R$  y (b) tipo II-B con  $r = \ell^2/R$ , donde  $\ell$  es la escala de Planck.

### Dualidades S

Son las que relacionan una teoría de supercuerdas con constante de acoplamiento débil (cuyos entes físicos dominantes son las cuerdas) con otra con constante de acoplamiento fuerte (cuyos entes físicos dominantes son las branas). Estas dualidades no cambian los radio de las dimensiones compactificadas. Por ejemplo, tenemos la teoría tipo II-B consigo misma, la heterótica  $SO(32)$  con la tipo I y la tipo II-A de acoplamiento fuerte con la *supergravedad en once dimensiones* (SUGRA), que es una formulación supersimétrica de GR. A diferencia de las supercuerdas, once no representa la única dimensión del espacio-tiempo para una formulación consistente matemáticamente de SUGRA, pero si representa el número máximo de dimensiones para que sea posible bajo ciertos criterios técnicos. En la sección 10, mencionaremos cómo es posible la dualidad a pesar de que las dimensiones de los espacio-tiempos no coincidan.

### Dualidades U

Son las que relacionan las teorías de supercuerdas de cualquier manera, sin importar que los radios y las constantes de acoplamientos cambien. Las dualidades T y S serían entonces casos particulares de este tipo de dualidad.

## 9 Teoría M

Como las dualidades sugieren que todas las teorías de supercuerdas son de algún modo lo mismo, es entonces que proponemos a la *teoría M* como la

“mamá” de todas ellas. El sentido de la propuesta es que la teoría M es el nombre genérico para referirnos a todas las supercuerdas y estas son casos particulares de ella, de acuerdo principalmente a constantes de acoplamiento, el espacio de compactificación usado  $X^6$ ... Además de las cinco teorías de supercuerdas, debemos incluir a SUGRA, porque es equivalente a la tipo II-A según la dualidad S. La Fig. 15 muestra la manera popular de representar gráficamente la teoría M, como una entidad de la que conocemos seis de sus “puntas”, de ahí la comparación con la historia de “seis” ciegos que tocan un elefante e intentan describirlo: la descripción dependerá de la parte que estén tocando, uno de ellos lo definirá a través de las orejas, otro por la trompa, el siguiente por los colmillos... Al final, cada uno de ellos concluirá que hablan de algo diferente, cuando realmente lo que han “visto” son ciertas partes de un elefante. De ese mismo modo es nuestro conocimiento de la teoría M, le hemos “visto” partes, pero todavía no sabemos que es en su totalidad. Por el comportamiento de las supercuerdas a nivel de acoplamiento fuerte, concluimos que el espacio-tiempo de la teoría M debe ser de once dimensiones, pero su formulación exacta es todavía un problema abierto y activo dentro de la física.

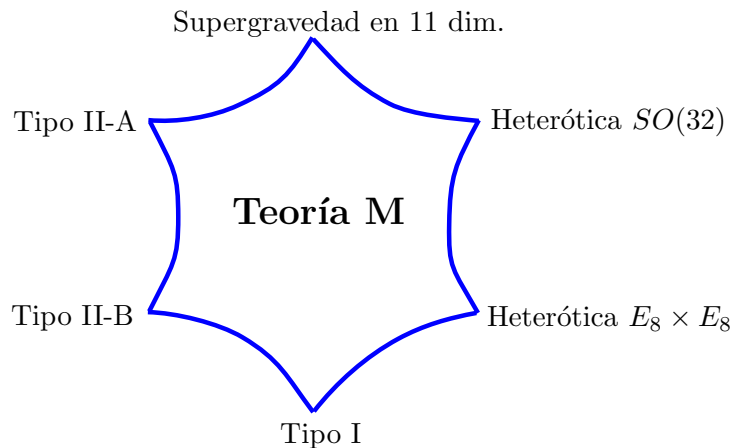


Figura 15: Representación gráfica de la teoría M.

Actualmente, el nombre de “M” tiene muchas razones de ser, entre ellas (por la palabra en inglés):

- *Madre* (Mother) de todas las teorías.

- *Misterio* (Mystery), porque todavía falta mucho por conocer de la teoría misma.
- “*W*” *invertida*, por Witten, el físico teórico más representativo en teoría de cuerdas.
- *Matriz* (Matrix), porque es representable como una teoría cuántica de matrices, siendo la formulación más prometedora actualmente.
- *Membrana* (Membrane), porque tiene otros entes extendidos, además de las cuerdas.

Cabe mencionar que en cierta literatura de supercuerdas, sobre todo en los primeros artículos, el nombre de teoría M es a veces usado en referencia a SUGRA, como un sinónimo en el sentido que a bajas energías la teoría M se describe clásicamente usando SUGRA, a diferencia del significado más moderno de totalidad o entidad. Una idea similar es el nombre de teoría F para la que es equivalente a la tipo II-B y que tiene once dimensiones, recuerde que SUGRA (o teoría M bajo lo comentado en este párrafo) es equivalente a la tipo II-A.

## 10 Las branas

Explicemos cómo es posible pasar de una teoría de diez dimensiones a otra de once dimensiones, el artificio de hacer aparecer *una nueva dimensión* está en la constante de acoplamiento, que llamaremos  $g$ . Es posible mostrar que conforme hacemos  $g$  más grande (acoplamiento fuerte), una nueva dimensión comienza a hacerse visible. Las Figs. 16 y 17 muestran gráficamente dos modos de cómo una dimensión extra puede aparecer. En la Fig. 16, el espacio-tiempo con todo lo que contenga comienza a ganar “ancho” conforme  $g$  crece; así, por ejemplo, una cuerda cerrada pasará a ser una membrana, en este caso un cilindro. La dimensión extra la denotamos como dim.10. En la Fig. 17, las cuerdas se “inflan” al aumentar  $g$ , por lo tanto, el espacio-tiempo está obligado a incorporar otra dimensión para poder contener a las membranas, que en este caso serían las cuerdas “infladas” o donas (correctamente, toros). Este “inflar” es el mecanismo presente en la teoría tipo II-A que le produce una dimensión extra, nuestra imposición anterior de que la dimensión de las

supercuerdas era diez fue resultado de una formulación perturbativa (considerábamos que  $g$  es pequeño y hacíamos los cálculos de los estados físicos, las anomalías... como una serie en  $g$ ), de ahí nuestra imprecisión.

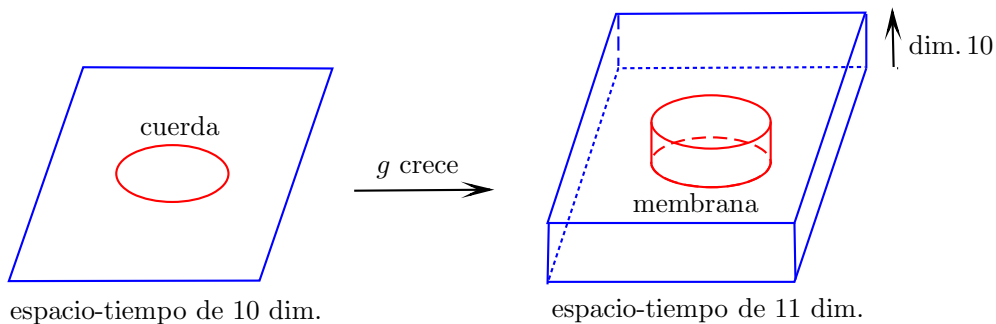


Figura 16: Aparición de una dimensión extra por “ensanchamiento” del espacio-tiempo en la teoría heterótica de  $E_8 \times E_8$ .

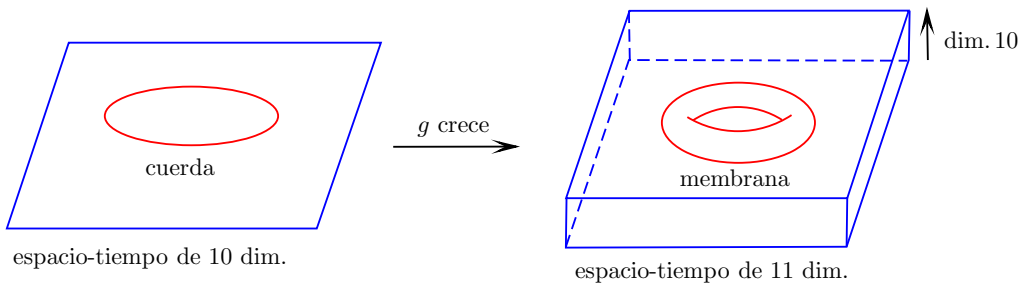


Figura 17: Aparición de una dimensión extra por “inflar” las cuerdas en la teoría tipo II-A.

Generalicemos ahora el concepto de membrana que ha sido usado para cualquier superficie que tiene dos dimensiones, como fueron anteriormente la parte externa del cilindro o del toro, nuevamente no incluimos como parte de ellas lo que esté adentro, en ese sentido serían como recipientes, son huecos. Denominaremos entonces a la *brana* como cualquier ente extendido de  $p$  dimensiones espaciales (recuerde que hemos incluido al tiempo como otra dimensión, por eso especificamos espaciales, no incluimos al tiempo para

definirlas) que además tiene una tensión asociada, o más apropiadamente una densidad de energía. En la formulación de una teoría de cuerdas, la tensión desempeña un rol muy similar al de la masa en las teorías de partículas puntuales. Con esta nomenclatura, llamaríamos: *0-branas* a los puntos, *1-branas* a las cuerdas, *2-branas* a las membranas y *p-branas* a los entes extendidos en  $p$  dimensiones espaciales.

¿Cómo explicamos que las branas no estuvieran desde el principio en nuestra teoría de supercuerdas? ¿No tuvimos el cuidado de incorporarlas dentro de nuestra formulación? Esta paradoja es descifrable porque las branas al ser entes físicos tienen masa, la cual es inversamente proporcional a la constante de acoplamiento de las cuerdas, es decir, a menor valor de  $g$  (acoplamiento débil) mayor masa y viceversa. Por tanto, como las teorías de supercuerdas las formulamos de manera perturbativa ( $g$  es pequeño), la masa de las branas será demasiado grande, lo que provoca un efecto insignificante en la física, su ausencia es debido a que requieren de mucha energía para ser creadas, contrario a las cuerdas. Resumiendo, la formulación perturbativa de las supercuerdas no define adecuadamente la teoría, por tanto, la investigación futura de las mismas hará que completemos todas las partes del “elefante” llamado teoría M.

## 11 Interacción entre cuerdas y branas

Una justificación menos técnica de porqué deben haber branas en una teoría de cuerdas es que las puntas de una cuerda abierta podrían estar restringidas a moverse solo en cierta región del espacio. Y si consideramos que estas regiones pueden ser entes físicos: experimentan interacciones entre ellas mismas y con las cuerdas, se mueven, se deforman. . . , concluiríamos que deben ser ingredientes de la teoría. Basado en el estudio de las branas, es que descubrimos las dualidades y cierto comportamiento de las supercuerdas a nivel de acoplamiento fuerte. Incluso si las puntas se mueven en todo el espacio, diremos que la región es una 9-brana, la que llena todo el espacio. Bajo esta premisa, deducimos que las cuerdas abiertas y las branas deben interactuar como lo muestran las Figs. 18 y 19. Ahora nuestra representación del espacio con algunas dimensiones compactificadas (note que ahora no incluimos al tiempo) es a través del concepto de *identificación*. Por ejemplo, un cilindro se representaría como un plano o una hoja de papel, uno tendría que pegarle los bordes para formar lo, por lo que decimos que sus bordes están identificados:

si uno caminara en el plano hasta el borde derecho y continúa caminando, uno aparecerá en el borde izquierdo a la misma altura (al estilo de los juegos de video), en alusión al dar vueltas en un cilindro.

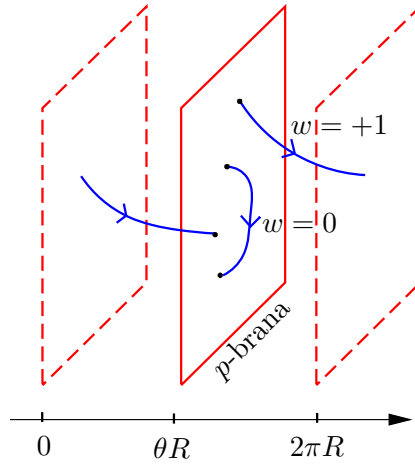


Figura 18: Dos cuerdas abiertas atadas a una  $p$ -brana. Las cuerdas tienen números de enrollamiento cero y uno. Los planos de líneas discontinuas están identificados. El eje representa la dimensión compactificada.

Por otro lado, la Fig. 20 muestra el caso entre cuerdas cerradas y branas, donde una cuerda cerrada (circular) se intercambia de una brana a otra, es el diagrama de Feynman de la interacción entre branas donde la mediadora es una cuerda cerrada; lo que podría representar la interacción gravitacional entre branas, pues el gravitón se modela como cuerda cerrada. Sin embargo, podemos también interpretar el diagrama como el de una cuerda abierta con sus puntas atadas a dos branas diferentes y que al moverse forma un cilindro. Este tipo de diagrama, llamado *de lazo* (*loop diagram*), representa las correcciones cuánticas de un proceso; en nuestro caso particular, la brana se da cuenta de la presencia de la otra. Esta doble interpretación es nuevamente resultado de las equivalencias (topológicas) entre los diagramas, como lo mencionamos al final de la sección 4 y conlleva a confirmar los cálculos pues podemos hacerlos por métodos diferentes, o deducirlos a través de un diagrama equivalente.

La consecuencia más importante en la interacción cuerdas-branas es que

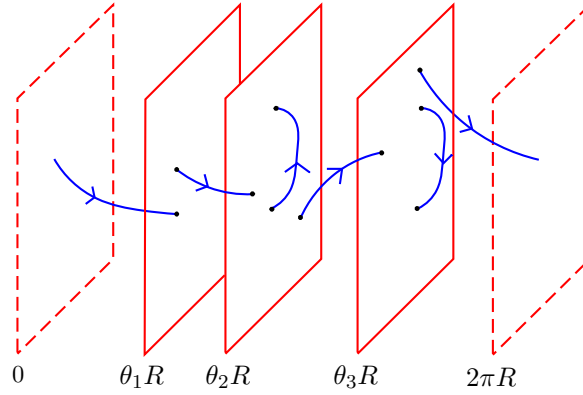


Figura 19: Cinco cuerdas abiertas atadas (interactuando) a tres  $p$ -branas. Todas las cuerdas tienen  $w = 0$ . Los planos de líneas discontinuas están identificados y las posiciones de las branas en la dimensión compactificada son las indicadas. Si las puntas de la cuerda están en la misma brana, la cuerda no tiene masa, caso contrario sí tiene, debido a la tensión producida por las branas al estirarla.

nos permite incorporar apropiadamente el modelo estándar de las partículas (ver introducción) en una teoría de cuerdas, porque las QFT se pueden vincular directamente con el *volumen de mundo* de las branas. Estrictamente, a este tipo de brana se le denomina *D-brana*, porque su naturaleza está asociada a las cuerdas abiertas originales en la formulación de la teoría. Matemáticamente, son el resultado de las condiciones de frontera de Dirichlet (por eso la letra D en su nombre). Bajo este contexto, se han propuesto modelos teóricos donde nuestro universo se considera como una D3-brana, i.e. somos seres que estamos confinados a vivir en esta brana, el espacio de tres dimensiones que conocemos, aunque realmente el universo tendría más dimensiones espaciales. Este tipo de enfoque es llamado *brane-world approach* o *scenario*.

## 12 Conclusiones

Las supercuerdas son en la actualidad la mejor propuesta teórica para unificar las teorías cuánticas de campo (QFT) con la relatividad general (GR), los

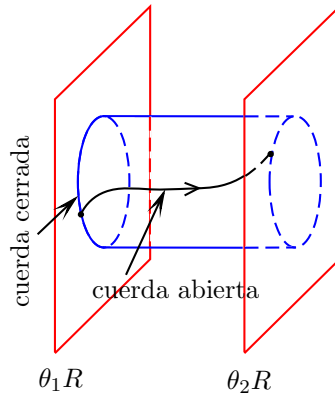


Figura 20: Intercambio de una cuerda cerrada entre dos branas o la corrección cuántica para dos branas por un lazo de una cuerda abierta. Las posiciones de las branas en la dimensión compactificada son las indicadas. La cuerda cerrada traza un cilindro al ir de una brana a otra. Cada punta de la cuerda abierta al moverse traza un círculo en la brana donde está atada y su movimiento completo traza el cilindro.

dos grandes logros del siglo veinte en física, que permiten explicar lo pequeño (partículas, átomos. . .) y lo grande (el universo, las galaxias. . .), respectivamente. Un marco unificado nos daría la capacidad de comprender adecuadamente al universo mismo, su evolución y todo lo que está en él.

Nuestro conocimiento actual de las supercuerdas lo fundamentamos principalmente en su formulación perturbativa, las cuerdas interactúan (se acoplan) débilmente. Bajo esta formulación, la teoría de supercuerdas requiere que el espacio-tiempo sea de diez dimensiones para evitar el problema de anomalías. Sin embargo, y a pesar de imponer otros requisitos a la teoría, encontramos cinco versiones de supercuerdas que son matemáticamente consistentes.

El concepto de compactificación que permite interpretar las dimensiones extras ha sido medular en el descubrimiento de las dualidades y las branas, los nuevos entes físicos más allá de puntos y cuerdas. Con las dualidades, las versiones de las supercuerdas pierden su carácter individual e incluso llegan también a incorporar a una teoría que originalmente no es de cuerdas, SUGRA. Ahora todas estas teorías quedan unificadas bajo un solo marco

teórico: la teoría M.

Formular adecuadamente la teoría M es el nuevo objetivo, pero tenemos el inconveniente que no sabemos con exactitud cómo lograrlo. Primero que todo no es estrictamente una teoría de cuerdas, donde obviamente sus entes físicos esenciales son las cuerdas, pues contiene 2-branas (las cuerdas “infladas” de la Fig. 17) y 5-branas como parte esencial. Otras características de la teoría son que el espacio-tiempo debe ser de once dimensiones y que al considerar ciertos límites de sus parámetros como  $g$ , los radios de  $X^6$  (estrictamente de  $X^7$ ) entre otros, deben reducirla a una teoría de supercuerdas. Mientras tanto, la propuesta matricial parece (y puede) ser el marco teórico correcto para definir la teoría M.

La debilidad más fuerte del concepto de cuerdas es su falta de verificación experimental, tanto directa como indirecta. En otras palabras, no existe en la actualidad experimento o fenómeno físico conocido que requiera fuertemente una explicación “cuerdista”, basta usar QFT o GR para entender la física del problema. La unificación de QFT y GR, que es el objetivo de cuerdas, es un problema completamente teórico debido a que estas teorías son incompatibles entre ellas. De ahí que utilizar las teorías de cuerdas para entender mejor el modelo estándar o la cosmología (dominadas por QFT y GR, respectivamente) representa otro camino, activo en la física de hoy, para guiar nuestro esfuerzo a una formulación más adecuada físicamente de las supercuerdas y de la teoría M, basada en información experimental y no matemática, el camino tradicional y actual. El problema de esta formulación tradicional es que las matemáticas requeridas y sus aplicaciones también “sufren” de falta de conocimiento apropiado y completo, pues necesitamos conjuntamente varias de sus áreas (como topología, geometría diferencial y teoría de grupos, entre otras) para establecerlas, y con ello lograr un planteo formal y exacto de los cálculos.

Obviamente, ciertos detalles de las cuerdas son más complicados y complejos de cómo los hemos presentando, por lo que requieren de una mayor profundización para un lector con interés de involucrarse en el tema (ver las referencias).<sup>4</sup> Consecuentemente, este artículo pretende ser solo un punto

---

<sup>4</sup>Las referencias [1] – [10] son libros de divulgación científica, donde [1] es el más conveniente para público en general, algunos son de temas relacionados con teoría de cuerdas como [8] y también se han incluido [7] y [10] para contrastar con el otro punto de vista: físicos que no apoyan las cuerdas como una teoría con significado real para la física. Los libros [11] y [12] son de nivel de grado (bachillerato), adecuados para iniciarse en el tema de las cuerdas, donde personalmente se recomienda el segundo de ellos. Los siguientes [13]

de partida al mundo de las cuerdas, cuya iniciativa inició en los cursos de Tópicos de Física Teórica que se imparten en la Universidad de Costa Rica.

## Referencias

- [1] B. R. Greene, *The elegant universe: Superstrings, hidden dimensions, and the quest of the ultimate theory* (Norton, New York, USA, 1999).
- [2] B. R. Greene, *The fabric of the cosmos: Space, time, and the texture of reality* (Vintage, USA, 2005).
- [3] S. S. Gubser, *The little book of string theory* (University Press Princeton, USA, 2010).
- [4] A. Z. Jones y D. Robbins, *String theory for dummies* (Wiley, USA, 2009).
- [5] G. Musser, *The complete idiot's guide to string theory* (Alpha Books, Indianapolis, USA, 2008).
- [6] R. Penrose, *The road to reality: A complete guide to the laws of the Universe* (Vintage, USA, 2007).
- [7] L. Smolin, *The trouble with physics: The rise of string theory, the fall of a science, and what comes next* (First Mariner, USA, 2007).
- [8] L. Susskind y J. Lindesay, *An introduction to black holes, information and the string theory revolution: The holographic universe* (World Scientific, Hackensack, USA, 2005).

---

– [23] son de nivel de posgrado, donde se recomienda [13] por tener una estructura y presentación más moderna de las cuerdas, sin omitir los tradicionales [17] y [22], algunos son versiones que se pueden obtener libremente en el internet. Por otro lado, las referencias [24] – [26] se enfocan fuertemente en el estudio de las branas y sus aplicaciones dentro de la física, principalmente en física de partículas y cosmología; se recomienda [25]. Los artículos [27] – [30] presentan rumbos que ha tomado la investigación en cuerdas, donde [27] es una buena guía relacionada a la literatura principal de cuerdas hasta el 2004, incluye páginas web. Finalmente, las últimas dos referencias son ejemplos de cursos: [32] a nivel de grado (MIT) y [31] a nivel de posgrado (Universidad Autónoma de Madrid). En ambos, el lector encontrará los materiales correspondientes y apreciará la estructura de los cursos. Cabe mencionar que estas referencias no pretenden ser la versión completa de la literatura más importante y esencial de cuerdas.

- [9] L. Susskind, *The cosmic landscape: String theory and the illusion of intelligent design* (Little, Brown; New York, USA, 2005).
- [10] P. Woit, *Not even wrong: The failure of string theory & the continuing challenge to unify the laws of physics* (Cape, London, UK, 2006).
- [11] D. McMahon, *String theory demystified* (McGraw-Hill, New York, USA, 2009).
- [12] B. Zwiebach, *A first course in string theory* (University Press, Cambridge, UK, 2009).
- [13] K. Becker, M. Becker y J. H. Schwarz, *String theory and M-theory: A modern introduction* (University Press, Cambridge, UK, 2007).
- [14] J. Bedford, *An introduction to string theory* (2011) <http://arxiv.org/abs/1107.3967>
- [15] R. Blumenhagen, D. Lüst y S. Theisen, *Basic concepts of string theory* (Springer, Berlin, 2013).
- [16] A. Cappelli, E. Castellani, F. Colomo y P. Di Vecchia, *The birth of string theory* (Cambridge University Press, UK, 2012).
- [17] M. B. Green, J. H. Schwarz y E. Witten, *Superstring Theory*. Vol. 1 y 2 (University Press, Cambridge, USA, 1988).
- [18] M. Kaku, *Introduction to superstrings and M-theory* (Springer, New York, USA, 1999).
- [19] E. Kiritsis, *String theory in a nutshell* (Princeton University Press, USA, 2007) <http://lanl.arxiv.org/abs/hep-th/9709062> (*Introduction to superstring theory*, 1998).
- [20] C. Krishnan, *An invitation to string theory* (2006) <http://lanl.arxiv.org/abs/hep-th/0603102>
- [21] D. Lüst y S. Theisen, *Lectures on string theory* (Springer-Verlag, Berlin, 1989).
- [22] J. Polchinski, *String theory*. Vol. 1 y 2 (University Press, Cambridge, UK, 2005).

- [23] D. Tong, *String theory* (2009) <http://arxiv.org/abs/arXiv:0908.0333>
- [24] K. Hashimoto, *D-brane: Superstrings and new perspective of our world* (Springer, Berlin, 2012).
- [25] C. V. Johnson, *D-branes* (University Press, Cambridge, USA, 2003) <http://arxiv.org/abs/hep-th/0007170> (*D-brane primer*, 2000).
- [26] R. J. Szabo, *An introduction to string theory and D-brane dynamics* (Imperial College Press, UK, 2011) <http://lanl.arxiv.org/abs/hep-th/0207142> (*BUSSTEPP lectures on string theory*, 2002).
- [27] D. Marolf, “Resource letter: The nature and status of string theory” *Am. J. Phys.* **72**, 730 (2004) <http://lanl.arxiv.org/abs/hep-th/0311044>
- [28] J. H. Schwarz, “Status of superstring and M-theory” *Int. J. Mod. Phys. A* **25**, 4703 (2010) <http://lanl.arxiv.org/abs/0812.1372>
- [29] J. H. Schwarz, *The early history of string theory and supersymmetry* (2012) <http://lanl.arxiv.org/abs/1201.0981>
- [30] L. Susskind, *The anthropic landscape of string theory*. In Carr, Bernard (ed.): *Universe or multiverse?* p 247-266 <http://lanl.arxiv.org/abs/hep-th/0302219>
- [31] A. Uranga, *Graduate course in string theory*, Universidad Autónoma de Madrid <http://members.ift.uam-csic.es/auranga/firstpage.html>
- [32] B. Zwiebach y A. Guth, *String theory for undergraduates*, Massachusetts Institute of Technology <http://ocw.mit.edu/courses/physics/8-251-string-theory-for-undergraduates-spri>